



SCHWEIZERISCHE EIDGENOSSENSCHAFT CONFÉDÉRATION SUISSE CONFEDERAZIONE SVIZZERA

Bescheinigung

Die beiliegenden Akten stimmen überein mit den ursprünglichen technischen Unterlagen des auf der nächsten Seite bezeichneten Patentgesuches für die Schweiz und Liechtenstein. *

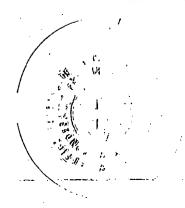
Attestation

Les documents ci-joints sont conformes aux pièces techniques originales de la demande de brevet pour la Suisse et le Liechtenstein * spécifiée à la page suivan-

Attestazione

Gli uniti documenti sono conformi agli atti tecnici originali della domanda di brevetto per la Svizzera e il Liechtenstein * specificata nella pagina seguente.

Bern. 15. Juni 1990



Bundesamt für geistiges Eigentum
Office fédéral de la propriété intellectuelle
Ufficio federale della proprietà intellettuale

Der Sektionschef/Le chef de section/II capo di sezione



Grünig

^{*} Die Schweiz und das Fürstentum Liechtenstein bilden ein elnheitliches Schutzgebiet. Der Schutz kann deshalb nur für beide Länder gemeinsam beantragt werden.

La Suisse et la Principauté de Liechtenstein constituent un territoire unitaire de protection. La protection ne peut donc être revendiquée que pour l'ensemble des deux Etats.

La Svizzera e il Principato di Liechtenstein formano un unico territtorio di protezione. La protezione può dunque essere rivendicata solamente per l'insieme dei due Stati.

This Page Blank (uspto)

Voraussichtliche Klasse(n): C07K/A61K

Patentgesuch Nr. 03 319/89-6

Patent-

F. Hoffmann-La Roche AG

bewerber:

4002 Basel

Postfach

Schweiz

Schwe

Titel:

TNF-bindende Proteine.

Datum der

Anmeldung: 12.09.89

Priorität: -

Referenz: RAN 4105/125

12-03-83

This Page Blank (uspto)

Unveränderliches Exemplar Exemplaire invariable Esemplare immutabile



F.HOFFMANN-LA ROCHE AG, Basel/Schweiz

RAN 4105/125

5

10

TNF-bindende Proteine

Tumor Nekrosis Faktor α (TNF α , auch Cachectin), auf 15 Grund seiner haemorragisch-nekrotisierenden Wirkung auf bestimmte Tumoren entdeckt, und Lymphotoxin (TNFB) sind zwei nah verwandte Peptidfaktoren [3] aus der Klasse der Lymphokine/Cytokine, die im folgenden beide als TNF 20 bezeichnet werden [siehe Uebersichtsarbeiten 2 und 3]. TNF verfügt über ein breites zelluläres Wirkungsspektrum. Beispielsweise besitzt TNF inhibierende oder cytotoxische Wirkung auf eine Reihe von Tumorzell-Linien [2,3], stimuliert die Proliferation von Fibroblasten und die 25 phagozytierende/cytotoxische Aktivität von myeloischen Zellen [4,5,6], induziert Adhäsionsmoleküle in Endothelzellen oder übt eine inhibierende Wirkung auf Endothel aus [7.8,9,10], inhibiert die Synthese von spezifischen Enzymen in Adipozyten [11] und induziert die 30 Expression von Histokompatibilitätsantigenen [12]. Manche dieser TNF-Wirkungen werden über eine Induktion von anderen Faktoren oder durch synergistische Effekte mit anderen Faktoren, wie beispielsweise Interferonen oder Interleukinen erzielt [13-16].

AB/12.9.89

35.....

5

TNF ist bei einer Reihe von pathologischen Zuständen, beispielsweise Schockzuständen bei Meningococcen-Sepsis [17], bei der Entwicklung von Autoimmun-Glomerulonephritis bei Mäusen [18] oder bei cerebraler Malaria bei Mäusen [19] und beim Menschen [41] involviert. Ganz allgemein scheinen die toxischen Wirkungen von Endotoxin durch TNF vermittelt zu sein [20]. Weiterhin kann TNF wie Interleukin-1 Fieber auslösen [39]. Auf Grund der pleiotropen funktionellen Eigenschaften von TNF kann man annehmen, dass TNF in 10 Wechselwirkung mit anderen Cytokinen bei einer ganzen Reihe weiterer pathologischer Zustände als Mediator von Immunantwort, Entzündung oder anderen Prozessen beteiligt ist.

Diese biologischen Effekte werden durch TNF über 15 spezifische Rezeptoren vermittelt, wobei nach heutigem Wissensstand sowohl TNFa wie TNFB an die gleichen Rezeptoren binden [21]. Verschiedene Zelltypen unterscheiden sich in der Anzahl von TNF-Rezeptoren [22,23,24]. Solche 20 ganz allgemein gesprochen TNF-bindenden Proteine (TNF-BP) wurden durch kovalente Bindung an radioaktiv markiertes TNF nachgewiesen [24-29], wobei die folgenden scheinbaren Molekulargewichte der erhaltenen TNF/TNF-BP-Komplexe ermittelt wurden: 95/100 kD und 75 kD [24], 95 kD und 75 kD 25 [25], 138 kD, 90 kD, 75 kD und 54 kD [26], 100±5 kD [27], 97 kD und 70 kD [28] und 145 kD [29]. Mittels anti-TNF-Antikörper-Immunoaffinitätschromatographie und präparativer SDS-Polyacrylamidgelelektrophorese (SDS-PAGE) konnte ein solcher TNF/TNF-BP-Komplex isoliert werden [27]. 30 Die reduktive Spaltung dieses Komplexes und anschliessende SDS-PAGE-Analyse ergab mehrere Banden, die allerdings nicht auf TNF-Bindeaktivität getestet wurden. Da die spezifischen Bedingungen, die zu der Spaltung des Komplexes verwendet werden müssen, zur Inaktivierung des Bindeproteins führen 35 [31], ist letzteres auch nicht möglich gewesen. Die Anreicherung von löslichen TNF-BP aus dem humanen Serum oder Urin mittels Ionenaustauscher-Chromatographie und

- 3 -

Gelfiltration (Molekulargewichte im Bereich von 50 kD) wurde von Olssen et al. beschrieben [30].

Brockhaus et al. [32] erhielten durch TNFa-Ligandenaffinitätschromatographie und HPLC aus 5 Membranextrakten von HL60-Zellen eine angereicherte TNF-BP-Präparation, die wiederum als Antigenpräparation zur Herstellung von monoklonalen Antikörpern gegen TNF-BP verwendet wurde. Unter Verwendung eines solchen 10 immobilisierten Antikörpers (Immunaffinitätschromatographie) wurde mittels TNFa-Ligandenaffinitätschromatographie und HPLC von Loetscher und Brockhaus [31] aus einem Membranextrakt von humaner Placenta eine angereicherte Präparation von TNF-BP erhalten, die in der 15 SDS-PAGE-Analyse eine starke breite Bande bei 35 kD, eine schwache Bande bei etwa 40 kD und eine sehr schwache Bande im Bereich zwischen 55 kD und 60 kD ergab. Im übrigen zeigte das Gel im Bereich von 33 kD bis 40 kD einen Proteinhintergrundschmier. Die Bedeutung der so erhaltenen 20 Proteinbanden war jedoch im Hinblick auf die Heterogenität des verwendeten Ausgangsmaterials (Placenta-Gewebe; vereinigtes Material aus mehreren Placenten) nicht klar.

Gegenstand der vorliegenden Erfindung sind nichtlösliche Proteine und lösliche oder nichtlösliche Fragmente davon, die TNF binden (TNF-BP), in homogener Form, sowie deren physiologisch verträgliche Salze. Bevorzugt sind solche Proteine, die gemäss SDS-PAGE unter nicht reduzierenden Bedingungen durch scheinbare Molekulargewichte von etwa 55 kD, 51 kD, 38 kD, 36 kD und 34 kD bzw. 75 kD und 65 kD charakterisiert sind, insbesonders solche mit etwa 55 kD und 75 kD. Weiterhin bevorzugt sind solche Proteine, die durch wenigstens eine der beiden Aminosäureteilsequenzen gekennzeichnet sind:

35

Leu-Val-Pro-His-Leu-Gly-Asp-Arg-Glu-Lys-Arg-Asp-Ser-Val-Cys-Pro-Gln-Gly-Lys-Tyr-Ile-His-Pro-Gln-X-Asn-Ser-Ile Leu-Pro-Ala-Gln-Val-Ala-Phe-X-Pro-Tyr-Ala-Pro-Glu-Pro-Gly

(II)

wobei X für einen Aminosäurerest steht, der nicht eindeutig bestimmt werden konnte.

5

Im Stand der Technik sind bereits TNF-BP durch eine N-terminale Teilsequenz charakterisiert worden [Europäische Patentanmeldung mit der Publikations-Nr. 308 378], wobei sich diese Sequenz von der erfindungsgemäßen N-terminalen Teilsequenz gemäßer Formel (I) unterscheidet. Im übrigen handelt es sich aber bei den im Stand der Technik beschriebenen TNF-Bindeproteinen um auß dem Urin isolierte, lösliche, d.h. nicht membrangebundene, TNF-BP und nicht um membrangebundene, d.h. unlösliche, TNF-BP.

Gegenstand der vorliegenden Anmeldung sind auch Verfahren zur Isolierung der erfindungsgemässen TNF-BP. 20 Diese Verfahren sind dadurch charakterisiert, dass man im wesentlichen die folgenden Reinigungsschritte nacheinander ausführt: Herstellung eines Zell- oder Gewebeextraktes, Immunaffinitätschromatographie und/oder ein- oder mehrfache Ligandenaffinitätschromatographie, hochauflösende 25 Flüssigkeitschromatographie (HPLC) und präparative SDS-Polyacrylamidgelelektrophorese (SDS-PAGE). Die Kombination der aus dem Stand der Technik bekannten einzelnen Reinigungsschritte ist für den Erfolg des erfindungsgemässen Verfahrens essentiell, wobei einzelne 30 Schritte im Rahmen der zu lösenden Aufgabe modifiziert/ verbessert wurden. So wurde beispielsweise der ursprünglich für die Anreicherung von TNF-BP aus humaner Placenta [31] verwendete kombinierte Immunaffinitätschromatographie/ TNFq-Ligandenaffinitätschromatographie-Schritt dadurch 35 abgeändert, dass eine BSA-Sepharose 4B-Vorsäule verwendet wurde. Diese Vorsäule wurde zum Auftrag des Zell- oder Membranextraktes in Reihe mit der Immunaffinitätssäule und gefolgt von der Ligandenaffinitätssäule geschaltet. Nach



Auftrag des Extraktes wurden die beiden zuletztgenannten Säulen abgekoppelt, jede für sich eluiert und die TNF-BP-aktiven Fraktionen wurden nochmals über eine Ligandenaffinitätssäule gereinigt. Erfindungswesentlich für die Durchführung des Umkehrphasen-HPLC-Schrittes ist die Verwendung eines Detergens-haltigen Lösungsmittelgemisches.

Gegenstand der vorliegenden Erfindung sind auch pharmazeutische Präparate, die wenigstens eines dieser

TNF-BP oder Fragmente davon, gewünschtenfalls in Verbindung mit weiteren pharmazeutisch wirksamen Substanzen und/oder nicht-toxischen, inerten, therapeutisch verträglichen Trägermaterialien enthalten.

Die vorliegende Erfindung betrifft schliesslich die Verwendung solcher TNF-BP einerseits zur Herstellung pharmazeutischer Präparate bzw. andererseits zur Behandlung von Krankheiten, bevorzugt solchen, in deren Verlauf TNF involviert ist.

20

Ausgansmaterial für die erfindungsgemässen TNF-BP sind ganz allgemein Zellen, die solche TNF-BP in membrangebundener Form enthalten und die dem Fachmann ohne Beschränkungen allgemein zugänglich sind, wie beispielsweise 25 HL60- [ATCC Nr. CCL 240], U 937- [ATCC Nr. CRL 1593], SW 480- [ATCC Nr. CCL 228] und HEp2-Zellen [ATCC Nr. CCL 23]. Diese Zellen können nach bekannten Methoden des Standes der Technik kultiviert werden [40]. TNF-BP können dann nach bekannten Methoden des Standes der Technik mittels 30 geeigneter Detergenzien, beispielsweise Triton X-114, 1-0-n-Octyl-B-D-glucopyranosid (Octylglucosid), oder 3-[(3-Cholylamidopropyl)-dimethylammonio]-l-propan sulfonat (CHAPS), im besonderen mittels Triton X-100, aus den aus dem Medium abzentrifugierten und gewaschenen Zellen extrahiert werden. 35 Zum Nachweiß solcher TNF-BP können die üblicherweise verwendeten Nachweismethoden für TNF-BP, beispielsweise eine Polyethylenglykol-induzierte Fällung des 125 I-TNF/TNF-BP-

Komplexes [27], im besonderen Filterbindungstests mit radioaktiv markiertem TNF gemäss Beispiel 1, verwendet werden. Zur Gewinnung der erfindungsgemässen TNF-BP können die generell zur Reinigung von Proteinen, insbesondere von Membranproteinen, verwendeten Methoden des Standes der Technik, wie beispielsweise Ionenaustausch-Chromatographie, Gelfiltration, Affinitätschromatographie, HPLC und SDS-PAGE verwendet werden. Besonders bevorzugte Methoden zur Herstellung erfindungsgemässer TNF-BP sind 10 Affinitätschromatographie, insbesondere mit TNF-q als Liganden und Immunaffinitätschromatographie, HPLC und SDS-PAGE. Die Elution von mittels SDS-PAGE aufgetrennten TNF-BP Banden kann nach bekannten Methoden der Proteinchemie erfolgen, beispielsweise mittels Elektroelution nach 15 Hunkapiller et al. [34], wobei nach heutigem Stand des Wissens die dort angegebenen Elektro-Dialysezeiten generell zu verdoppeln sind. Danach noch verbleibende Spuren von SDS können dann gemäss Bosserhoff et al. [50] entfernt werden.

Die so gereinigten TNF-BP können mittels der im Stand der Technik bekannten Methoden der Peptidchemie, wie beispielsweise N-terminale Aminosäuresequenzierung oder enzymatische wie chemische Peptidspaltung charakterisiert werden. Durch enzymatische oder chemische Spaltung erhaltene Fragmente können nach gängigen Methoden, wie beispielsweise HPLC, aufgetrennt und selbst wieder N-terminal sequenziert werden. Solche Fragmente, die selbst noch TNF binden, können mittels der obengenannten Nachweismethoden für TNF-BP identifiziert werden und sind ebenfalls Gegenstand der Vorliegenden Erfindung.

Ausgehend von der so erhältlichen
Aminosäuresequenzinformation können unter Beachtung der
Degeneration des genetischen Codes nach im Stand der Technik
bekannten Methoden geeignete Oligonukleotide hergestellt
werden [51]. Mittels dieser können dann wiederum nach
bekannten Methoden der Molekularbiologie [42,43] cDNA- oder

genomische DNA-Banken nach Klonen, die für TNF-BP kodierende Nukleinsäuresequenzen enthalten, abgesucht werden. DNA-Stücke solcher Sequenzen können dann wiederum nach bekannten Methoden sequenziert oder in geeigneten Expressionsvektoren zur Expression in dazu passenden Wirtszellen gebracht werden. Die so erhaltenen TNF-BP können dann nach gängigen Methoden des Standes der Technik aus den Wirtszellen selbst isoliert werden. Außserdem können mittels der Polymerase-Kettenreaktion (PCR) [49] cDNA-Fragmente 10 kloniert werden, indem von zwei auseinanderliegenden, relativ kurzen Abschnitten der Aminosäuresequenz unter Beachtung des genetischen Codes vollständig degenerierte und in ihrer Komplementarität geeignete Oligonucleotide als "Primer" eingesetzt werden, wodurch das zwischen diesen 15 beiden Sequenzen liegende Fragment identifiziert und amplifiziert wird. Die Bestimmung der Basensequenz eines derartigen Fragmentes ermöglicht eine unabhängige Bestimmung der Aminosäure-Sequenz des Proteinfragments für das es kodiert.

20

5

Die erfindungsgemäss erhaltenen TNF-BP können auch als Antigene zur Erzeugung von poly- und monoklonalen Antikörpern nach bekannten Methoden der Technik [44,45] oder gemäss dem in Beispiel 3 beschriebenen Verfahren verwendet 25 werden. Solche Antikörper, insbesondere monoklonale Antikörper gegen die 75 kD-TNF-BP-Spezies, sind ebenfalls Gegenstand der vorliegenden Erfindung.

Auf Grund der hohen Bindungsaffinität erfindungsgemässer 30 TNF-BP für TNF (K_d -Werte um 10^{-10} M) können diese oder Fragmente davon als Diagnostika zum Nachweis von TNF in Serum oder anderen Körperflüssigkeiten nach im Stand der Technik bekannten Methoden, beispielsweise in Festphasenbindungstests oder in Verbindung mit Anti-TNF-BP-35 Antikorpern in sogenannten "Sandwich"-Tests, eingesetzt werden.

Im übrigen können erfindungsgemässe TNF-BP einerseits zur Reinigung von TNF und andererseits zum Auffinden von TNF-Agonisten so wie TNF-Antagonisten nach im Stand der

Technik bekannten Verfahren verwendet werden.

5

Die erfindungsgemässen TNF-BP sowie deren physiologisch verträgliche Salze können auch zur Herstellung von pharmazeutischen Präparaten, vor allem solchen zur Behandlung von Krankheiten, bei deren Verlauf TNF involviert ist, verwendet werden. Dazu kann eine oder mehrere der genannten Verbindungen, falls wünschenswert bzw. erforderlich in Verbindung mit anderen pharmazeutisch aktiven Substanzen, mit den üblicherweise verwendeten festen oder flüssigen Trägermaterialien in bekannter Weise verarbeitet werden. Die Dosierung solcher Präparate kann unter Berücksichtigung der üblichen Kriterien in Analogie zu bereits verwendeten Präparaten ähnlicher Aktivität und Struktur erfolgen.

Nachdem die Erfindung vorstehend allgemein beschrieben worden ist, sollen die folgenden Beispiele Einzelheiten der Erfindung veranschaulichen, ohne dass diese dadurch in irgendeiner Weise eingeschränkt wird.

25

<u>Beispiel l</u>

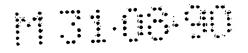
Nachweis von TNF-bindenden Proteinen

Die TNF-BP wurden in einem Filtertest mit humanem

125 I-TNF nachgewiesen. TNF (46,47) wurde mit Na 125 I (IMS40, Amersham, Amersham, England) und Iodo-Gen (#28600, Pierce Eurochemie, Oud-Beijerland, Niederlande) nach Fraker und Speck [48] radioaktiv makiert. Zum Nachweis der TNF-BP wurden isolierte Membranen der

Zellen oder ihre solubilisierten, angereicherten und gereinigten Fraktionen auf angefeuchtete

Nitrocellulose-Filter (0.45 μ, BioRad, Richmond,



- 9 -

California, USA) aufgetragen. Die Filter wurden dann in Pufferlösung mit 1% entfettetem Milchpulver blockiert und anschliessend mit 5·10⁵ cpm/ml ¹²⁵ I-TNFα (0.3-1.0·10⁸ cpm/μg) in zwei Ansätzen mit und ohne Beigabe von 5μg/ml nicht-markiertem TNFα inkubiert, gewaschen und luftgetrocknet. Die gebundene Radioaktivität wurde autoradiographisch semiquantitativ nachgewiesen oder in einem γ-Counter gezählt. Die spezifische

125 I-TNF-Bindung wurde nach Korrektur für unspezifische Bindung in Anwesenheit von unmarkiertem TNF im Ueberschuss ermittelt. Die spezifische TNF-Bindung im Filtertest wurde bei verschiedenen TNF-Konzentrationen gemessen und nach Scatchard analysiert [33], wobei ein K_d-Wert von ~10⁻⁹-10⁻¹⁰M ermittelt wurde.

15

Beispiel 2

Zellextrakte von HL-60-Zellen

1 Stunde; 100'000 x g, 1 Stunde).

HL60 Zellen [ATCC-Nr. CCL 240] wurden in einem RPMI
1640-Medium [GIBCO-Katalog Nr. 074-01800], das noch 2 g/l
NaHCO₃ und 5% fötales Kälberserum enthielt in einer
5%-igen CO₂-Atmosphäre kultiviert, zentrifugiert und mit
isotonem Phosphatpuffer (PBS; 0.2 g/l KCl, 0.2 g/l
25 KH₂PO₄, 8.0 g/l NaCl, 2.16 g/l Na₂HPO₄ • 7H₂O),
der mit 5% Dimethylformamid, 10 mM Benzamidin, 100 E/ml
Aprotinin, 10 μM Leupeptin, 1 μM Pepstatin, 1 mM
o-Phenanthrolin, 5 mM Jodacetamid, 1 mM
Phenylmethylsulfonylfluorid versetzt war (im folgenden als
30 PBS-M bezeichnet), gewaschen. Die gewaschenen Zellen wurden
bei einer Dichte von 2.5•10⁸ Zellen/ml in PBS-M mit
Triton X-100 (Endkonzentration 1.0%) extrahiert. Der
Zellextrakt wurde durch Zentrifugation geklärt (15'000 x g,



Beispiel 3

Herstellung von monoklonalen (TNF-BP)-Antikörpern

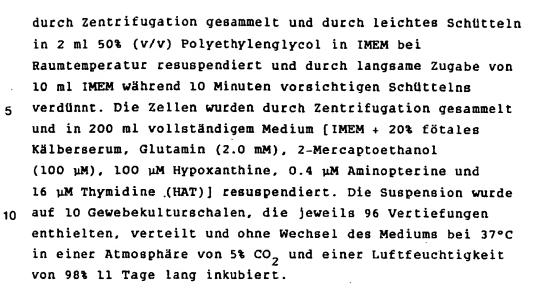
Der gemäss Beispiel 2 erhaltene Zentrifugationsüberstand wurde im Verhältnis 1:10 mit PBS verdünnt. Der verdünnte Veberstand wurde bei 4°C auf eine Säule aufgetragen (Flussrate: 0.2 ml/min.), die 2 ml Affigel 10 enthielt (Bio Rad Katalog Nr. 153-6099) an das 20 mg rekombinantes humanes 10 TNF-α [Pennica, D. et al. (1984) Nature 312, 724; Shirai, T. et al. (1985) Nature 313, 803; Wang, A.M. et al. (1985) Science 228, 149] gemäss den Empfehlungen des Herstellers gekoppelt worden war. Die Säule wurde bei 4°C und einer Durchflussrate von 1 ml/min zuerst mit 20 ml PBS, das 0.1% 15 Triton X 114 enthielt und danach mit 20 ml PBS gewaschen. So angereichertes TNF-BP wurde bei 22°C und einer Flussrate von 2 ml/min mit 4 ml 100 mM Glycin, pH 2.8, 0.1% Decylmaltosid eluiert. Das Eluat wurde in einer Centricon 30 Einheit [Amicon] auf 10 µl konzentriert.

20

5

10 µl dieses Eluates wurden mit 20 µl vollständigem Freundschen Adjuvans gemischt. 10 µl der Emulsion wurden gemäss dem von Holmdahl, R. et al. [(1985), J. Immunol. Methods 83, 379] beschriebenen Verfahren an den Tagen 0, 7 25 und 12 in eine hintere Fusspfote einer narkotisierten Balb/c-Maus injiziert.

Am Tag 14 wurde die immunisierte Maus getötet und der popliteale Lymphknoten herausgenommen, zerkleinert und in 30 Iscove's Medium (IMEM, GIBCO Katalog Nr. 074-2200), das 2 g/l NaHCO, enthielt, durch wiederholtes Pipettieren suspendiert. Gemäss einem modifizierten Verfahren von De St.Groth und Scheidegger [J. Immunol. Methods (1980), 35, 1] wurden 5x10⁷ Zellen des Lymphknotens mit 5x10⁷ PAI Maus-35 Myelomazellen (J.W. Stocker et al., Research Disclosure, 217, Mai 1982, 155-157), die sich in logarithmischem Wachstum befanden, fusioniert. Die Zellen wurden gemischt,



Die Antikörper zeichnen sich aus durch ihre inhibierende Wirkung auf die TNF-Bindung an HL60-Zellen sowie durch ihre Bindung an Antigen im Filtertest gemäss Beispiel 1.

Zum Nachweis der biologischen Aktivität von anti-(TNF-BP)-Antikörpern wurde folgendermassen verfahren. 5x10⁶ HL60-Zellen oder U937-Zellen wurden in vollständigem RPMI 1640 Medium zusammen mit affinitätsgereinigten monoklonalen anti-(TNF-BP)-Antikörpern oder Kontrollantikörpern (d.h. solchen, die nicht gegen TNF-BP 25 gerichtet sind) in einem Konzentrationsbereich von l ng/ml bis 10 µg/ml inkubiert. Nach einer Stunde Inkubation bei 37°C wurden die Zellen durch Zentrifugation gesammelt und mit 4.5 ml PBS bei 0°C gewaschen. Sie wurden in 1 ml vollständigem RPMI 1640 Medium (Beispiel 2), das 30 zusätzlich O.1% Natriumazid und 125 I-TNF (106 cpm/ml) (s.o.) enthielt, resuspendiert. Die spezifische Radioaktivität betrug 700 Ci/mmol. Die Zellen wurden 2 Stunden bei 4°C inkubiert, gesammelt und 4 mal mit 4.5 ml PBS das 1% BSA und 0.001% Triton X 100 (Fluka) enthielt bei 35 0°C gewaschen. Die an die Zellen gebundene Radioaktivität wurde in einem y-Scintillationszähler gemessen. In einem vergleichbaren Experiment wurde die zellgebundene



Radioaktivität von Zellen, die nicht mit anti-(TNF-BP)-Antikörpern behandelt worden waren, bestimmt (ungefähr 10 000 cpm/5x10⁶ Zellen).

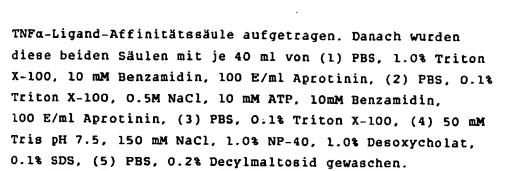
<u>Beispiel 4</u>

<u>Affinitätschromatographie</u>

5

Für die weitere Reinigung wurden jeweils ein gemäss 10 Beispiel 3 erhaltener monoklonaler anti-(TNF-BP)-Antikörper (2.8 mg/ml Gel), TNFa (3.0 mg/ml Gel) und Rinderserumalbumin (BSA, 8,5 mg/ml Gel) gemäss den Vorschriften des Herstellers kovalent an CNBr-aktivierte Sepharose 4B (Pharmacia, Uppsala, Schweden) gekoppelt. Der 15 gemäss Beispiel 2 erhaltene Zellextrakt wurde über die so hergestellten und in der folgenden Reihenfolge hintereinandergeschalteten Säulen geleitet: BSA-Sepharose-Vorsäule, Immunaffinitätssäule [Anti-(TNF-BP)-Antikörper], TNFa-Ligand-Affinitätssäule. 20 Nach vollständigem Auftrag wurden die beiden letztgenannten Säulen abgetrennt und einzeln für sich mit je 100 ml der folgenden Pufferlösungen gewaschen: (1) PBS, 1.0% Triton X-100, 10 mM Benzamidin, 100 E/ml Aprotinin; (2) PBS, 0.1% Triton X-100, 0.5M NaCl, 10 mM ATP, 10 mM Benzamidin, 25 100 E/ml Aprotinin; und (3) PBS, 0.1% Triton X-100, 10 mM Benzamidin, 100 E/ml Aprotinin. Sowohl die Immun- als auch .die TNFα-Ligand-Affinitätssäule wurden dann mit 100 mM Glycin pH 2.5, 100 mM NaCl, 0.2% Decylmaltoside, 10 mM Benzamidin, 100 E/ml Aprotinin jede für sich eluiert. Die im 30 Filtertest gemäss Beispiel 1 aktiven Fraktionen jeder Säule wurden danach jeweils vereint und mit 1M Tris pH 8.0 neutralisiert.

Die so Vereinten TNF-BP-aktiven Fraktionen der 35 Immun-Affinitätschromatographie einerseits und der TNFα-Ligand-Affinitätschromatographie andererseits wurden zur weiteren Reinigung nochmals auf je eine kleine



Anschliessend wurden die Säulen mit 100 mM Glycin pH 2.5, 100 mM NaCl, 0.2% Decylmaltosid eluiert. Fraktionen von 10 0.5 ml von jeder Säule wurden für sich gesammelt und die gemäss Filtertest (Beispiel 1) aktiven Fraktionen von jeder Säule jeweils für sich vereint und in einer Centricon-Einheit (Amicon, Molekulargewichts-Ausschluss

15

Beispiel 5

Auftrennung mittels HPLC

10'000) aufkonzentriert.

Die gemäss Beispiel 4 erhaltenen aktiven Fraktionen wurden gemäss ihrer unterschiedlichen Herkunft (Immun- bzw. Ligand-Affinitätschromatographie) jeweils für sich auf Cl/C8 Umkehrphasen-HPLC-Säulen (ProRPC, Pharmacia, 5x20 mm), die mit 0.1% Trifluoressigsäure, 0.1% Octylglucosid equilibriert worden waren, aufgetragen. Die Säulen wurden dann mit einem linearen Acetonitril-Gradienten (0-80%) im gleichen Puffer bei einem Fluss von 0.5 ml/min eluiert. Fraktionen von 1.0 ml wurden von jeder Säule gesammelt und die aktiven Fraktionen von jeder Säule für sich vereint (Nachweis gemäss 30 Beispiel 1).

Beispiel 6

Auftrennung mittels SDS-PAGE

35

Die gemäss Beispiel 5 erhaltenen und gemäss Filtertest (Beispiel 1) aktiven Fraktionen wurden durch SDS-PAGE gemäss

[34] weiter aufgetrennt. Dazu wurden die Proben in SDS-Probenpuffer während 3 Minuten auf 95°C erhitzt und anschließend auf einem 12% Acrylamid-Trenngel mit einem 5% igen Sammelgel elektrophoretisch aufgetrennt. Als Referenz zur Bestimmung der scheinbaren Molekulargewichte auf dem SDS-PAGE Gel wurden die folgenden Eichproteine verwendet: Phosphorylase B (97.4 kD), BSA (66.2 kD), Ovalbumin (42.7 kD), Carboanhydrase (31.0 kD), Soya Trypsin-Inhibitor (21.5 kD) und Lysozym (14.4 kD).

10

Unter den genannten Bedingungen wurden für Proben, die gemäss Beispiel 4 durch TNF-a-Ligandenaffinitätschromatographie von Immunaffinitätschromatographieeluaten erhalten und durch HPLC gemäss Beispiel 5 weiter aufgetrennt 15 Worden waren, zwei Banden von 55 kD und 51 kD sowie drei schwächere Banden von 38 kD, 36 kD und 34 kD erhalten. Diese Banden wurden in einem Mini Trans Blot System (BioRad, Richmond, California, USA) elektrophoretisch während l Stunde bei 100 V in 25 mM Tris, 192 mM Glycin, 20% Methanol 20 auf eine PVDF-Membran (Immobilon, Millipore, Bedford, Mass. USA) transferiert. Danach wurde die PVDF-Membran entweder mit 0,15% Serva-Blau (Serva, Heidelberg, BRD) in Methanol/Wasser/Eisessig (50/40/10 Volumenteile) auf Protein gefärbt oder mit entfettetem Milchpulver blockiert und 25 anschliessend zum Nachweis von Banden mit TNF-BP-Aktivität mit ¹²⁵I-TNF gemäss den in Beispiel 1 beschriebenen Filtertestbedingungen inkubiert. Dabei zeigte sich, dass alle in der Proteinfärbung zur Darstellung gelangten Banden spezifisch TNFa banden. Alle diese Banden banden im 30 Western Blot nach Towbin et al. [38] auch den gemäss Beispiel 3 hergestellten monoklonalen Antikörper. Dabei wurde ein gemäss dem in Beispiel 1 beschriebenen Verfahren mit Na 125 I radioaktiv markierter, affinitätsgereinigter (Mausimmunglobulin-Sepharose-4B-Affinitätssäule) 35 Kaninchen-anti-Maus-Immunoglobulin-Antikörper zum

autoradiographischen Nachweis dieses Antikörpers eingesetzt.

Proben, die gemäß Beißpiel 4 durch zweimalige

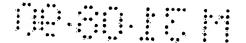
TNF-α-Ligandenaffinitätschromatographie des Durchlauß der Immunaffinitätschromatographie erhalten und durch HPLC gemäß Beißpiel 5 weiter aufgetrennt worden waren, zeigten unter den oben spezifizierten SDS-PAGE- und Blottransfer-Bedingungen zwei zusätzliche Banden von 75 kD und 65 kD, die beide im Filtertest (Beißpiel 1) spezifisch TNF banden. Im Western Blot gemäß Towbin et al. (s.o.) reagierten die Proteine dießer beiden Banden nicht mit dem gemäß Beißpiel 3 hergestellten Antikörper. Sie reagierten allerdings mit einem monoklonalen Antikörper, der ausgehend von der 75 kD-Bande erzeugt worden war.

Beispiel 7

15

Aminosäuresequenzanalyse

Zur Aminosäuresequenzanalyse wurden die gemäss Beispiel 5 erhaltenen und gemäss Filtertest (Beispiel 1) aktiven Fraktionen mittels der in Beispiel 6 beschriebenen, nun jedoch reduzierenden, SDS-PAGE Bedingungen (SDS-Probenpuffer mit 125 mM Dithiothreitol) aufgetrennt. Es wurden die gleichen Banden wie gemäss Beispiel 6 gefunden, die allerdings auf Grund der reduzierenden Bedingungen der 25 SDS-PAGE im Vergleich zu Beispiel 6 alle um etwa 1-2 kD höhere Molekulargewichte zeigten. Diese Banden wurden dann gemäss Beispiel 6 auf PVDF-Membranen übertragen und mit 0.15% Serva-Blau in Methanol/Wasser/ Eisessig (50/40/10 Volumenteile) während 1 Minute gefärbt, mit 30 Methanol/Wasser/Eisessig (45/48/7 Volumenteile) entfärbt, mit Wasser gespült, luftgetrocknet und danach ausgeschnitten. Bei sämtlichen Schritten wurden zur Vermeidung von N-terminaler Blockierung die von Hunkapiller [34] angegebenen Bedingungen eingehalten. So vorbereitete 35 Proben wurden dann in einem automatisierten Gasphasen-Mikrosequenzier-Gerät (Applied Biosystems Modell 470A, ABI, Foster City, Calif., USA) mit einem on-line



nachgeschalteten automatisierten HPLC
PTH-Aminosäureanalysator (Applied Biosystems Modell 120, ABI
s.o.) sequenziert, wobei die folgenden Aminosäuresequenzen
bestimmt wurden:

5

10

- 1., Für die 55 kD-Bande (gemäss nichtreduzierender SDS-PAGE): Leu-Val-Pro-His-Leu-Gly-Asp-Arg-Glu-Lys-Arg-Asp-Ser-Val-Cys-Pro-Gln-Gly-Lys-Tyr-Ile-His-Pro-Gln-X-Asn-Ser-Ile, wobei X für einen Aminosäurerest steht, der nicht bestimmt werden konnte.
- 2., Für die 51 kD und die 38 kD-Banden (gemäss nichtreduzierender SDS-PAGE): Leu-Val-Pro-His-Leu-Gly-Asp-Arg-Glu
- 15

20

3., Für die 65 kD-Bande (gemäss nichtreduzierender SDS-PAGE): Bei der N-terminalen Sequenzierung der 65 kD Bande wurden bis zum 15. Rest ohne Unterbrechung zwei parallele Sequenzen ermittelt. Da eine der beiden Sequenzen einer Teilsequenz des Ubiquitins [36,37] entsprach, wurde für die 65 kD-Bande die folgende Sequenz abgeleitet:

Leu-Pro-Ala-Gln-Val-Ala-Phe-X-Pro-Tyr-Ala-Pro-Glu-Pro-Gly

25

wobei X für einen Aminosäurerest steht, der nicht bestimmt werden konnte.

Beispiel 8

30

Bestimmung von Basen-Sequenzen von komplementärer DNA (cDNA)

Ausgehend von der Aminosäuresequenz gemäss Formel I wurden unter Berücksichtigung des genetischen Codes zu den 35 Aminosäureresten 2-7 und 17-23 entsprechende, vollständig degenerierte Oligonucleotide in geeigneter Komplementarität synthetisiert ("sense" and "antisense" Oligonucleotide).



- 17 -

Totale zelluläre RNA wurde aus HL60-Zellen isoliert [42, 43], und der erste cDNA-Strang durch Oligo-dT-Priming oder durch Priming mit dem "antisense" Oligonucleotid mittels eines cDNA-Synthese-Kits (RPN 1256, Amersham, Amersham, England) gemäss der Anleitung des Herstellers synthetisiert. Dieser cDNA-Strang und die beiden synthetisierten degenerierten Oligonucleotide wurden in einer Polymerase-Kettenreaktion (PCR Perkin Elmer Cetus, Norwalk, CT, USA gemäss Anleitung des Herstellers) dazu verwendet, die für die Aminosäure-Reste 8-16 (Formel I) codierende Basesequenz als cDNA-Fragment zu synthetisieren. Die Basensequenz dieses cDNA-Fragmentes lautet: 5'-AGGGAG-AAGAGGATAGTGTGTCCC-3'.



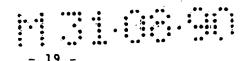
Literatur

5

20

- G.E. Nedwin, S.L. Naylor, A.Y. Sakaguchi, D. Smith, J. Jarrett-Nedwin, D. Pennica, D.V. Goeddel and P.W. Gray: Nucl. Acids Res. <u>13</u>, 6361, 1985
- B. Beutler and A. Cerami: New England J. Med. <u>316</u>, 379, 1987
- 3. L.J. Old: Science 230, 630, 1985
- 4. G. Trinchieri, M. Kobayashi, M. Rosen, R. Loudon, M. Murphy and B. Perussia: J. exp. Med. <u>164</u>, 1206, 1986
 - J. Vilcek, V.J. Palombella, D. Henriksen-de Stefano, C.
 Swenson, R. Feinman, M. Hirai and M. Tsujimoto: J. exp. Med. <u>163</u>, 632, 1986
- 6. B.J. Sugarman, B.B. Aggarwal, P.E. Hass, I.S. Figari,

 M.A. Palladino and H.M. Shepard: Science 230, 943, 1985
 - 7. J.R. Gamble, J.M. Harlan, S.J. Klebanoff and M.A. Vadas: Proc. Natl. Acad. Sci. USA 82, 8667, 1985
 - N. Sato, T. Goto, K. Haranaka, N. Satomi, H. Nariuchi,
 Y. Mano and Y. Sawasaki: J. Natl. Cancer Inst. <u>76</u>, 1113,
 1986
 - A.H. Stolpen, E.C. Guinan, W. Fiers and J.S. Pober: Am. J. Pathol. <u>123</u>, 16, 1986
 - J.S. Pober, L.A. Lapierre, A.H. Stolpen, T.A. Brock,
 T.A. Springer, W. Fiers, M.P. Bevilacqua, D.L. Mendrick
 and M.A Gimbrone: J. Immunol. <u>138</u>, 3319, 1987
 - M. Kawakami, P. Pekala, M. Lane and A. Cerami: Proc. Natl. Acad. Sci. USA 79, 912, 1982
 - 12. T. Collins, L.A. Lapierre, W. Fiers, J.L. Strominger and J.S Pober: Proc. Natl. Acad. Sci. USA 83, 446, 1986
- 30 13. G.H.W. Wong and D.V. Goeddel: Nature 323, 819, 1986
 - 14. J.W. Lowenthal, D.W.Ballard, E. Böhnlein and W.C. Greene: Proc. Natl. Acad. Sci. USA 86, 2331, 1989
 - 15. M.J. Lenardo, C.M. Fan, T. Maniatis and D. Baltimore: Cell <u>57</u>, 287, 1989
- 35 16. A.E. Goldfeld and T. Maniatis: Proc. Natl. Acad. Sci. USA <u>86</u>, 1490, 1989



- 17. A. Waage, A. Halsteuren and T. Espevik: Lancet, Febr. 14, 1987, 355,
- 18. C.O. Jacob and H.O. McDevitt: Nature 331, 356, 1988
- 19. G.E. Grau, L.F. Fajardo, P. Piguet, B. Allet, P. Lambert and P. Vassalli: Science 237, 1210, 1987
- 20. B. Beutler, I.W. Milsark and A.C. Cerami: Science 229, 869, 1985
- 21. B.B. Aggarwal, T.E. Eessalu and P.E. Hass: Nature 318, 665, 1985
- 10 22. M. Tsujimoto, Y.K. Yip and J. Vilcek: Proc. Natl. Acad. Sci. USA 82, 7626, 1985
 - 23. C. Baglioni, S. McCandless, J. Tavernier and W. Fiers: J. Biol. Chem. <u>260</u>, 13395, 1985
- 24. P. Hohmann, R. Remy, M. Brockhaus and A.P.G.M. van Loon:J. Biol. Chem., im Druck
 - 25. F.C. Kull, S. Jacobs and P. Cuatrecasas: Proc. Natl. Acad. Sci. USA 82, 5756, 1985
 - 26. A.A. Creasy, R. Yamamoto and Ch.R. Vitt: Proc. Natl. Acad. Sci. USA 84, 3293, 1987
- 27. G.B. Stauber, R.A. Aiyer and B.B. Aggarwal: J. Biol. Chem. <u>263</u>, 19098, 1988
 - 28. K. Hirano, K. Yamamoto, Y. Kobayashi and T. Osawa: J. Biochem. 105, 120, 1989
- 29. Y. Niitsu, N. Watanabe, H. Sone, H. Neda, N. Yamauchi,
 M. Maeda and I. Urushizaki: J. Biol. Resp. Modifiers 7.
 276, 1988
 - I. Olsson, A. Grubb, U. Gullberg, M. Lantz, E. Nilsson,
 C. Peetre and H. Thysell: Abstract, 2nd Intern.
 Conference on Tumor Necrosis Factor and Related
 Cytokines, Napa, California, 15.-20. Januar 1989
 - 31. H.R. Lötscher and M. Brockhaus: Abstract, 2nd Intern.
 Conference on Tumor Necrosis Factor and Related
 Cytokines, Napa, California, 15.-20. Januar 1989
 - 32. M. Brockhaus, H. Lötscher, H.-P. Hohmann und

Necrosis Factor and Related Cytokines, Napa, California, 15.-20. Januar 1989



20

- 33. C.R. Cantor and P.R. Schimmel, in Biophysical Chemistry, W.H. Freeman, ed., San Francisco, 1980, p. 850
- 34. M.W. Hunkapiller, E. Lujan, F. Ostrander, L.E. Hood: Methods Enzymol. 91, 227, 1983
- 5 35. U.K. Lämmli: Nature 227, 680, 1970
 - 36. T.St. John, W.M. Gallatin, M. Siegelman. H.T. Smith, V.A. Fried and I.L. Weissman: Science 231, 845, 1986
 - 37. M. Siegelman, M.W. Bond, W.M. Gallatin, T.St. John, H.T. Smith, V.A. Fried and I.L. Weissman: Science 231, 823, 1986
 - 38. H. Towbin, T. Staehelin and J. Gordon: Proc. Natl. Acad.Sci. USA 76, 4350, 1979
 - 39. Dinarello, Ch.A., in Lymphokines, Vol. 14, E. Pick, ed., p. 1, Academic Press, London, 1987
- 15 40. D.J. Merchant, R.H. Kahn and W.H. Murphy: Handbook of Cell and Organ Culture, Burgess Publ. Co., Minneapolis, 1969
 - 41. G.E. Grau, T.E. Taylor, M.E. Molyneux, J.J. Wirima, P. Vassalli, M. Hommel and P. Lambert: New Engl. J. Med. 320, 1586, 1989
 - 42. T. Maniatis, E.F. Fritsch and J. Sambrook: Molecular Cloning, A Laboratory Manual, Cold Spring Harbor Laboratory, Cold Spring Harbor, New York, 1982
- 43. F.M. Ausubel, R. Brent, R.E. Kingston, D.D. Moore, J.A.

 Smith, J.G. Seidman and K. Struhl: Current Protocols in

 Molecular Biology 1987-1988, S. Wiley and Sons, New

 York, 1987
 - 44. E. Harlow and D. Lane: Antibodies, A Laboratory Manual, Cold Spring Harbor Laboratory Publications, New York, 1988
 - 45. S.Fazekas de St. Groth and D. Scheidegger: J. Immunol.

 Methods 35, 1, 1980
- 46. D. Pennica and D.V. Goeddel, in Lymphokines, Vol. 13.
 D.R. Webb and D.V. Goeddel, eds. p. 163, Academic Press,
 London, 1987



- 21 -

- 47. J. Tavernier, L. Franzen, A. Marmenout, J. van der Heyden, R. Muller, M. Ruysschaert, A. van Vliet, R. Banden and W. Fiers, in Lymphokines, Vol. 13, D.R. Webb and D.V. Goeddel, eds., p. 181, Academic Press, London
- 5 48. P.J. Fraker and J.C. Speck: Biochem. Biophys. Res. Commun. 80, 849, 1987
 - 49. D.H. Erlich, D.H. Gelfand, R.K. Saiki: Nature 331, 61, 1988
- 50. Bosserhoff, J. Wallach and R.W. Frank: J. Chromatogr. 10 473, 71, 1989
 - 51. R. Lathe: J. Mol. Biol. <u>183</u>, 1, 1985

15

20

25



<u>Patentansprüche</u>

- Nichtlösliche Proteine und lösliche oder nichtlösliche Fragmente davon, die TNF binden, in homogener Form, sowie deren physiologisch verträgliche Salze.
- 2. Proteine gemäss Anspruch 1, die durch Molekulargewichte gemäss SDS-PAGE unter nichtreduzierenden Bedingungen von etwa 55 kD und 75 kD charakterisiert sind.
- 3. Proteine gemäss einem der Ansprüche 1 und 2, die wenigstens eine der folgenden Aminosäuresequenzen enthalten:
- Leu-Val-Pro-His-Leu-Gly-Asp-Arg-Glu-Lys-Arg-Asp-Ser-Val-CysPro-Gln-Gly-Lys-Tyr-Ile-His-Pro-Gln-X-Asn-Ser-Ile

 (I)

bzw.

- 20 Leu-Pro-Ala-Gln-Val-Ala-Phe-X-Pro-Tyr-Ala-Pro-Glu-Pro-Gly, (II)

 wobei X für einen nicht bestimmten Aminosäurerest steht.
- 4. Ein Verfahren zur Isolierung eines Proteins gemäss
 25 einem der Ansprüche 1-3, dadurch gekennzeichnet, dass man im
 wesentlichen die folgenden Reinigungsschritte nacheinander
 ausführt: Herstellung eines Zellextraktes,
 Immunaffinitätschromatographie und/oder ein- oder mehrfache
 Ligandenaffinitätschromatographie, HPLC und präparative
 30 SDS-PAGE.
- 5. Pharmazeutische Präparate, dadurch gekennzeichnet, dass sie eine oder mehrere Verbindung(en) gemäss einem der Ansprüche 1-3, gewünschtenfalls in Kombination mit weiteren pharmazeutisch wirksamen Subtanzen und/oder nicht-toxischen, inerten, therapeutisch verträglichen Trägermaterialien enthalten.



- 23 -

6. Verwendung einer Verbindung gemäss einem der Ansprüche 1-3 zur Herstellung pharmazeutischer Präparate bzw. zur Behandlung von Krankheiten, bevorzugt solchen, bei denen TNF involviert ist.

7. Gegen ein Protein gemäss Ansprüche 1-3 gerichtete Antikörper.

10

5

15

20

25

THIS PAGE BLANK (USPTO)

This Page is Inserted by IFW Indexing and Scanning Operations and is not part of the Official Record

BEST AVAILABLE IMAGES

Defective images within this document are accurate representations of the original documents submitted by the applicant.

Defects in the images include but are not limited to the items checked:	
☐ BLACK BORDERS	
☐ IMAGE CUT OFF AT TOP, BOTTOM OR SIDES	
☐ FADED TEXT OR DRAWING	
BLURRED OR ILLEGIBLE TEXT OR DRAWING	
☐ SKEWED/SLANTED IMAGES	
COLOR OR BLACK AND WHITE PHOTOGRAPHS	
☐ GRAY SCALE DOCUMENTS	
☐ LINES OR MARKS ON ORIGINAL DOCUMENT	
☐ REFERENCE(S) OR EXHIBIT(S) SUBMITTED ARE POO	OR QUALITY
Потикр.	

IMAGES ARE BEST AVAILABLE COPY.

As rescanning these documents will not correct the image problems checked, please do not report these problems to the IFW Image Problem Mailbox.